

PACS numbers: 68.37.Hk, 72.80.Le, 72.80.Tm, 81.07.Pr, 82.35.Jk, 82.35.Np, 82.45.Yz

## Синтез та фізико-хімічні властивості наноструктурованого композита полі(Ан-со-2-МАН)–Ау

О. Б. Перевізник\*, О. В. Решетняк\*\*\*, І. В. Салдан\*, Ю. Я. Семенюк\*

\**Львівський національний університет імені Івана Франка,  
вул. Кирила і Мефодія, 6,  
79005 Львів, Україна*

\*\**Академія сухопутних військ імені гетьмана Петра Сагайдачного,  
вул. Гвардійська, 32,  
79012 Львів, Україна*

Досліджено електрохімічний синтез та властивості тонких плівок нового сополімера 2-меркаптоаніліну й аніліну як засіб втілення у полімерний ланцюг меркапто-групи. Методом ІЧ-спектроскопії підтверджено наявність меркапто-груп у синтезованому сополімері, які виступають ініціаторами росту золотих наночастинок (Ау-НЧ) під час формування металополімерного композита. В свою чергу, Ау-НЧ зшивають ланцюги сополімера, результатом чого є утворення сферичних агрегатів з пористою структурою. Наночастинки золота одночасно виступають перколяційними кластерами, значно збільшуючи провідність плівки сополімера. Показано, що, змінюючи вміст наночастинок золота в композиті, можна регулювати ступінь зшивання макромолекулярних ланцюгів і одержувати струмопровідну плівку з наперед заданою електропровідністю.

Electrochemical synthesis and properties of the thin films of novel copolymer of aniline and 2-mercaptoaniline as a mean of introduction of the mercapto-group into the polymeric chain are studied. The presence of mercapto-group in synthesized copolymer chains is confirmed by the IR-spectroscopy method. As determined, the HS-groups initiate the growth of gold nanoparticles (Au-NP) during formation of the metal-polymeric composite. Besides, Au-NPs cross-link the chains of copolymer that leads to the formation of spherical aggregates with a porous structure. In the same time, gold nanoparticles are the percolation clusters and increase significantly the electrical conductivity of fabricated copolymeric film. As shown, the change of the Au-NPs content in a composite allows adjusting the degree of cross-linking of macromolecular chains and, as a result, to fabricate the conductive film with predetermined electrical conduction.

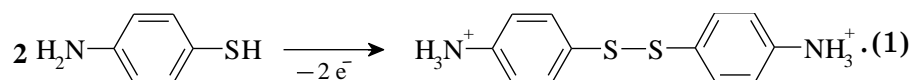
Исследованы электрохимический синтез и свойства тонких плёнок нового сополимера 2-меркаптоанилина и анилина как средства введения в полимерную цепь меркапто-группы. Методом ИК-спектроскопии подтверждено наличие меркапто-групп в синтезированном сополимере, которые выступают инициаторами роста наночастиц золота (Au-НЧ) при формировании металлополимерного композита. В свою очередь, Au-НЧ сшивают цепи сополимера, результатом чего является образование сферических агрегатов с пористой структурой. Наночастицы золота одновременно выступают перколяционными кластерами, значительно увеличивая проводимость сополимерной плёнки. Показано, что, изменяя содержание наночастиц золота в композите, можно регулировать степень сшивания макромолекулярных цепей и, как результат, получать токопроводящие плёнки с заранее заданной электропроводимостью.

**Ключові слова:** анілін, 2-меркаптоанілін, сополімер, наночастинки золота, металополімерний композит, електропровідність, губчасте золото.

(Отримано 18 листопада 2013 р.; після доопрацювання — 13 грудня 2013 р.)

## 1. ВСТУП

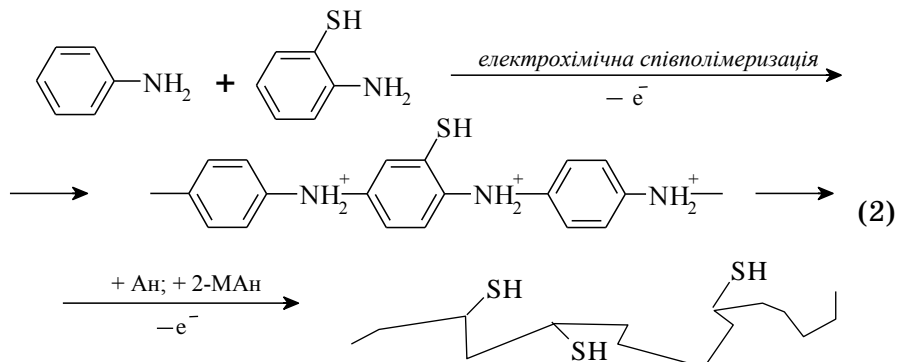
Сьогодні полімерні композиційні матеріали, зокрема, метал-полімерні, мінерал-полімерні чи полімер-полімерні, широко використовують у різноманітних технологіях, зокрема, в хемо- та біосенсорах, електронних пристроях як антикорозійні, антифрикційні чи іншого призначення покриття тощо. Тому однією з проблем, яку вирішує при цьому сучасне матеріалознавство, є підвищення сумісності компонентів композитів. У випадку електропровідних композиційних матеріалів на основі дрібнодисперсних частинок металів та полімерів вона може бути розв'язана шляхом ковалентного прищеплення до поверхні металу низькомолекулярних органічних сполук або полімерних ланцюгів. У випадку золотовмісних метал-полімерних композитів це зробити достатньо просто, використовуючи сполуки, що містять меркапто- або інші сульфуровмісні функціональні групи [1]. Проте введення меркапто-групи в полімерний ланцюг електропровідних полімерів є суттєво утрудненим внаслідок високої реакційної здатності цієї групи. Зокрема хімічна чи електрохімічна окиснювальна поліконденсація меркаптоанілінів є практично неможливою, оскільки, як у присутності хімічних окиснювачів, так і під час анодної поляризації робочого електрода, незаміщені меркапто-групи легко окиснюються [2–16]. Зокрема, у випадку 4-меркаптоаніліну головним продуктом окиснення є дисульфід:



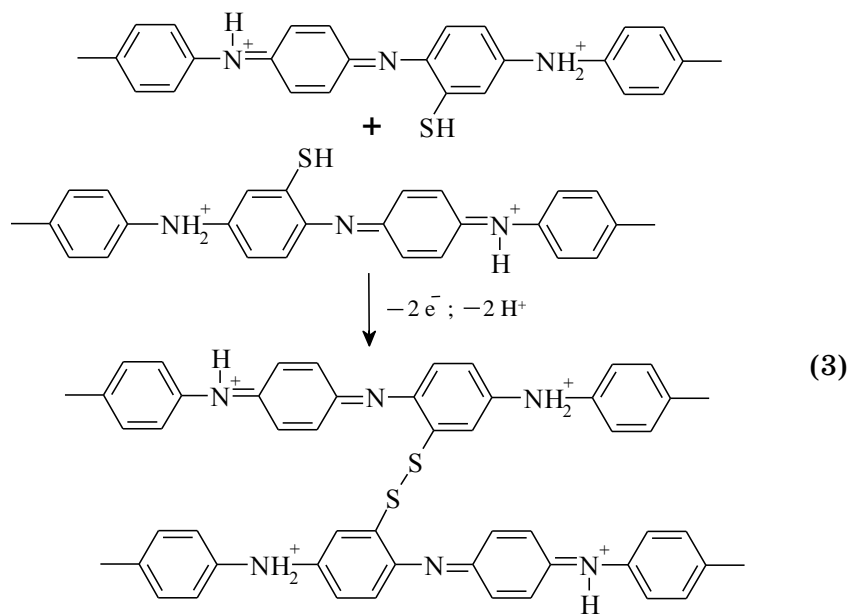
Подібним чином процес відбувається також для 2- та 3-меркапто-

анілінів.

Альтернативою може слугувати електрохімічна співполімеризація меркаптоанілінів та аніліну, яка може призвести до включення меркаптоанілінових фрагментів у поліанілінову матрицю:



Проте, і в цьому випадку, за класичних умов одержання поліаніліну (ПАН), меркапто-групи не зберігаються, електроокиснюючись до сульфінних (-S(O)OH) або, за анодного потенціалу понад 1,2 В, до електроннеактивних сульфо-груп (-SO<sub>3</sub>H) [7, 17], або ж у вигляді емеральдинової солі беруть участь у зшиванні макромолекулярних ланцюгів:



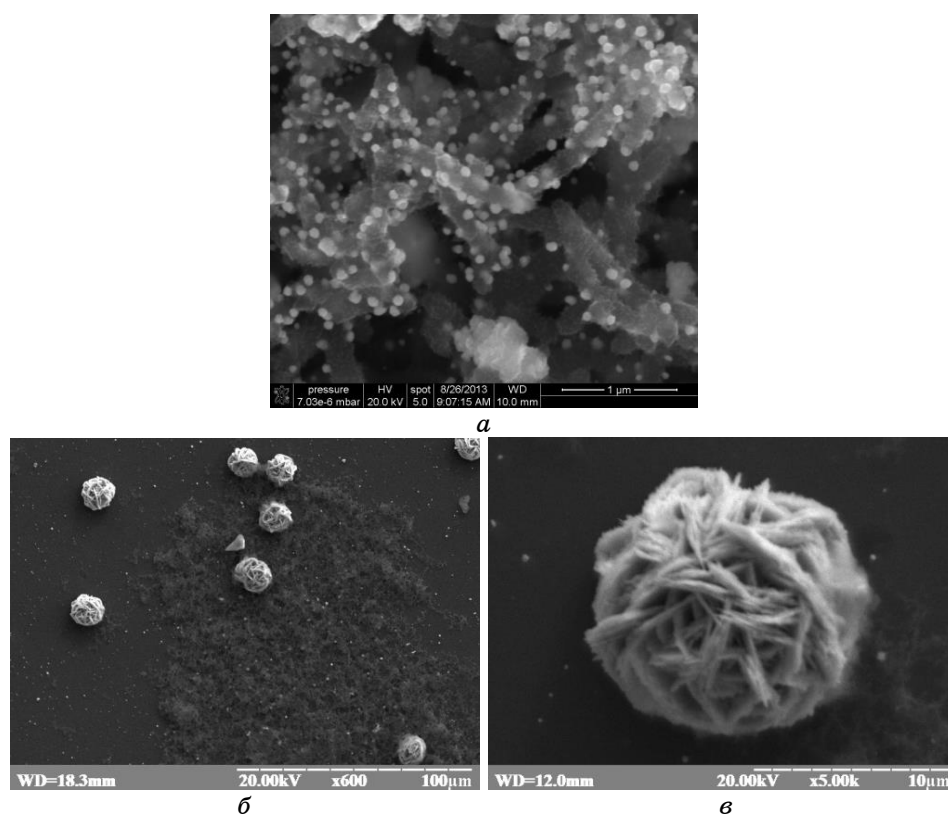
Нами з'ясовано, що запобігти окисненню меркапто-груп можна, використовуючи імпульсний режим електроокиснення вихідних

мономерів у присутності солей Fe(III). Тому метою цієї роботи був електрохімічний синтез тонких плівок сополімера аніліну і 2-меркаптоаніліну, введення в його структуру дрібнодисперсного золота та дослідження фізико-хімічних властивостей одержаного композита полі(Ан-*co*-2-МАН)-Au.

## 2. ЕКСПЕРИМЕНТАЛЬНА ЧАСТИНА

### 2.1. Характеристика реактивів та обладнання

У роботі використовували наступні реактиви та матеріали:  $\text{H}[\text{AuCl}_4] \cdot \text{H}_2\text{O}$  (марки Aldrich, чистота 99,999%),  $\text{HCl}$  та  $\text{H}_2\text{SO}_4$  (кваліфікації х.ч.), 2-меркаптоанілін (2-МАН, марки Sigma-Aldrich, чи-



**Рис. 1.** СЕМ-зображення (збільшення у 5000 (а), 600 (б) та 1500 (в) разів) поверхні плівки сополімера полі(Ан-*co*-2-МАН) з утвореними наночастинками золота (а) та сформованими окремими сферичними агрегатами композита полі(Ан-*co*-2-МАН)-Au (б, в). Концентрація  $\text{H}[\text{AuCl}_4]$  під час синтезу композита, М:  $10^{-4}$  (а) та  $10^{-2}$  (б, в).

стота 99%) без попереднього очищення. Анілін (Ан, кваліфікація ч.д.а.) попередньо переганяли з ректифікаційною насадкою за пониженого тиску в атмосфері аргону. Усі розчини готувалися на бі-дистильованій воді.

Для електрохімічного синтезу тонких плівок сополімера використовували потенціостат моделі АФСВР1 (Pine Instrument Comp.). Як робочий електрод використовували платиновий диск, допоміжний — платинову дротину. Всі значення електродних потенціалів у роботі наведено стосовно насиченого Ag/AgCl-електрода, який слугував електродом порівняння. Інфрачервоні спектри одержаних плівок сополімера записували, використовуючи спектрофотометр NICOLET IS 10. Для кондуктометричних вимірювань використовували автоматичний мостовий вимірювач Щ306-1. Морфологічні дослідження поверхні електрода-субстрату виконували за допомогою сканівної електронної мікроскопії (СЕМ), використовуючи електронний мікроскоп FEI QUANTA 3D (рис. 1, а) або ж мікроскоп-аналізатор РЕММА-102 (рис. 1, б, в). Прискорювальна напруга електронного пучка становила 20 кВ, тиск у камері —  $7 \cdot 10^{-5}$ – $1,3 \cdot 10^{-4}$  Па (залежно від використаного мікроскопа). СЕМ-зображення були одержані при збільшенні у 600, 1500 та 5000 разів.

## 2.2. Синтез полі(анілін-*Co*-2-меркаптоаніліну) та його композита з нанодисперсним золотом

Наважки мономерів розчиняли в 3 М  $H_2SO_4$  при неперервному барботуванні аргону, після чого вносили наважку  $Fe_2(SO_4)_3 \cdot 9H_2O$  з розрахунку на концентрацію конденсувального агента, що становила  $0,5 \text{ мол} \cdot \text{л}^{-1}$ . Після фільтрування розчин переносили в триелектродну комірку для електрохімічного синтезу.

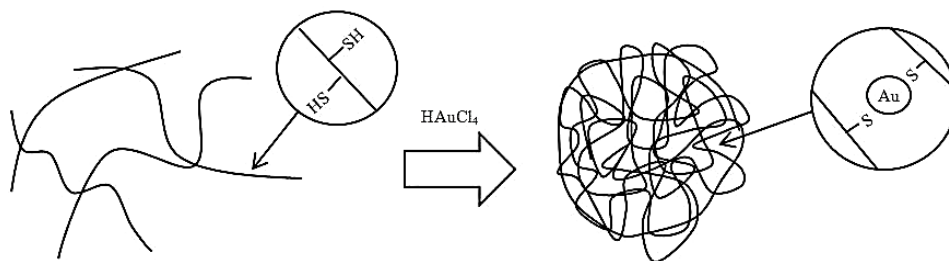
Електрохімічну співполімеризацію здійснювали в імпульсному режимі [18], коли через полімеризаційну суміш за рахунок розряду конденсатора пропускали короткочасний анодний поляризаційний імпульс, протягом якого ( $\cong 20$  мс) густина струму поляризації зміншувалася з  $\cong 15$  до  $0,15 \text{ мА} \cdot \text{см}^{-2}$ . При цьому в приелектродному шарі утворювались продукти олігомеризації вихідних мономерів, які надалі формували тонку полімерну плівку на поверхні електрода. Під час цієї стадії процесу підтримувався потенціал робочого електрода  $\cong 0,15$ – $0,2$  В для запобігання електрохімічного окиснення меркапто-груп. За використання такого значення захисного потенціалу співполімер на поверхні електрода відкладався у формі лейкомеральдинової солі (повністю відновлена форма поліанілінів; див. рівняння (2)). Присутність солі Fe(III) запобігала окисненню меркапто-групи 2-МАН, результатом чого було включення його ланок у структуру поліаніліну зі сополімера.

Для введення в плівку сополімера дрібнодисперсних частинок

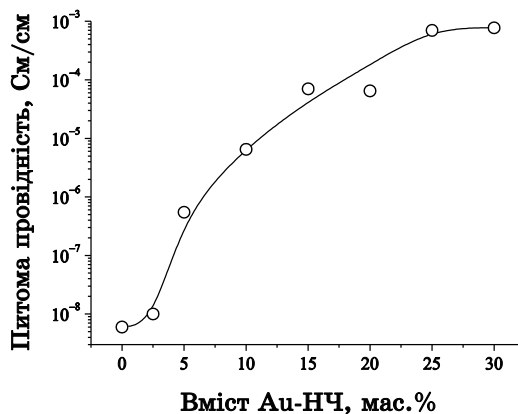
золота субстрат (електрод) з осадженою полімерною плівкою на 10–15 хв. поміщали у  $10^{-4}$ – $10^{-2}$  М розчин хлористого золота в 1 М НСІ. Швидко, протягом декількох десятків секунд, знебарвлення розчину свідчило про швидку хімічну взаємодію між співполімером та аніонами тетрахлораурату. По закінченні реакції субстрат промивали дистильованою водою та висушували за кімнатної температури у вакуумній шафі при залишковому тиску 10 мм. рт. ст.

### 3. РЕЗУЛЬТАТИ ТА ЇХ ОБГОВОРЕННЯ

Встановлено, що оптимальне мольне співвідношення Ан:2-МАН при електрохімічній окиснювальній поліконденсації цих мономерів становить 100:1. Збільшення вмісту 2-МАН призводить до зменшення адгезії сополімера до основи (електрода), або ж утворення водорозчинних олігомерів. Встановлено, що синтезовані полімерні



**Рис. 2.** Схематичне представлення утворення сферичних агрегатів сополімера полі(анілін-со-2-меркаптоанілін) внаслідок зшивання макромолекулярних ланцюгів наночастинками золота.



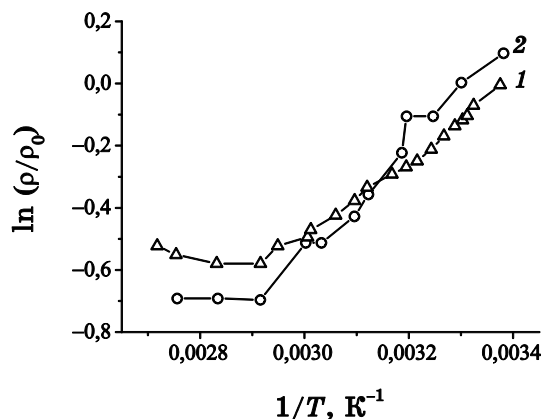
**Рис. 3.** Залежність електропровідності зразків сополімера від вмісту золота (у мас. %).

зразки стійкі як у сильнокислому, так і нейтральному чи слабко-лужному середовищі. Наявність в ІЧ-спектрах осадженої полімерної плівки характеристичної смуги з максимумом при  $\cong 2580 \text{ см}^{-1}$ , яка відповідає валентним коливанням зв'язку S–H [19], є підтвердженням наявності меркапто-групи в структурі полімеризату, а отже свідчить про утворення сополімера.

Співполімер, що утворюється, перебуваючи у формі лейкоемеральдиної солі, при експозиції в кислих розчинах  $\text{H}[\text{AuCl}_4]$  кількісно відновлює іони  $\text{AuCl}_4^-$  до  $\text{Au}^0$ , включаючи метал у свою структуру з утворенням композита та, у свою чергу, окиснюючись до емеральдину. При цьому кожна меркапто-група може бути ініціатором росту золотої наночастинки (НЧ). З'ясовано, що за концентрації  $\text{H}[\text{AuCl}_4]$ , яка становила  $10^{-4}$ – $10^{-3}$  М, Au–НЧ утворюються рівномірно по поверхні модифікованої тонким шаром сополімера підкладки-електрода (рис. 1, *a*). Змінюючи, окрім концентрації аніонів  $[\text{AuCl}_4]^-$ , яка є головним обмежувальним фактором, також співвідношення Ан:2-МАН в полімеризаційній суміші (і, відповідно, кількість меркапто-груп у структурі макромолекули — якірних точок, де відбувається хімічне прищеплення Au–НЧ до полімерного ланцюга), розміри синтезованих наночастинок золота можна змінювати в межах від 10 до 500 нм.

Збільшення концентрації  $\text{H}[\text{AuCl}_4]$  до  $10^{-2}$  М істотно змінює характер процесів, які відбуваються на модифікованій співполімером поверхні. СЕМ-зображення поверхні субстрату, наведено на рис. 1, *б, в*, свідчать, що кінцевим продуктом взаємодії сополімера та золотохлористоводневої кислоти в такому випадку є утворення окремих сферичних агрегатів (рис. 1, *б*) з розміром близько 10 мкм та пористою структурою (рис. 1, *в*). Відкладаючись вздовж макромолекули сополімера, Au–НЧ, відповідно до схеми, зображеної на рис. 2, хімічно взаємодіють [2, 17] також з меркапто-групами сусідніх макромолекул, зшиваючи їх, що й призводить до формування агрегатів сферичної форми.

Результати вимірювань електропровідності наповнених Au-наночастинками метал-полімерних композицій з різним вмістом золота наведено на рис. 3. При збільшенні вмісту Au до 10–15 мас.% питома електропровідність композитів зростає від  $\cong 10^{-8}$  См/см, що відповідає електропровідності нелегованої ПАН-матриці, до  $\cong 10^{-6}$ – $10^{-4}$  См/см. Перколяційний поріг електропровідності синтезованих композитів досягається при введенні  $\cong 5$  мас.% Au–НЧ, тоді як для недопованого ПАН ця величина становить близько 70 мас.% [20]. Максимальна провідність для синтезованих зразків композита полі(АН-*co*-2-МАН)-Au становить  $(3,2\text{--}6,3) \cdot 10^{-4}$  См/см і досягається за вмісту золота в межах 20–25 мас.%. Можна передбачити, що продуктом оброблення N-вінілпіролідіном чи концентрованою сульфатною кислотою (розчинники для поліаніліну) таких



**Рис. 4.** Залежність  $\ln(\rho/\rho_0)$  від оберненої температури для композита полі(Ан-со-2-МАН)–Ау при вмісті Ау-НЧ 1 (1) та 5 (2) мас. %.

**ТАБЛИЦЯ.** Активаційні параметри процесу перенесення заряду в композиті полі(Ан-со-2-МАН)–Ау за різного масового вмісту наночастинок золота.

Вміст Ау-НЧ, мас. %	$E_a$ , еВ
1	0,21
5	0,31

композитів з високим вмістом металу буде губчасте золото, яке, як відомо, виявляє досить високу каталітичну активність, а значить може бути в подальшому використано як низькотемпературний каталізатор окиснення чадного газу [21, 22], електроокиснення метанолу [23] тощо.

Досліджуючи температурну залежність питомого опору композитів  $\rho$ , нормованого до опору  $\rho_0$ , виміряного за кімнатної температури, виявлено, що для всіх досліджених композитів, як і для більшості органічних напівпровідників, на початковій ділянці підвищення температури питомий опір зразків зменшується за експоненціальним законом. Лінійний характер залежності в інтервалі температур 303–373 К (рис. 4) дав змогу розрахувати значення активаційних параметрів перенесення заряду (див. табл.). Одержані значення  $E_a$  свідчать, що композит можна використовувати як елемент контакту між напівпровідником, наприклад структурами на основі силіцію, та металевими поверхнями в електронних пристроях.

#### 4. ВИСНОВКИ

З метою пошуку нових функціональних матеріалів синтезовано та досліджено властивості сополімера полі(Ан-со-2-МАН) та Ау-полі-



мерного композита на його основі. Завдяки стійкості синтезованого сополімера як у сильноокислому, так і нейтральному чи слабколужному середовищі, він з успіхом може бути використаний як колектор для концентрування малих концентрацій золота з хлоридних комплексів у відсутності сильних окисників. Водночас композит полі(АН-*co*-2-МАН)-Au, що характеризується достатньою електричною провідністю та порівняно низькою енергією активації перенесення електрона, може бути рекомендований для застосування як платформа (основа з чутливим та провідним шаром) хемо- та біосенсорів, йон-селективних електродів тощо. Більше того, композит полі(АН-*co*-2-МАН)-Au, одержаний за великих концентрацій золота, містить структури, які можуть виступати прекурсорами при одержанні губчастого золота — перспективного каталізатора багатьох хімічних та електрохімічних перетворень.

## ПОДЯКА

Ця праця стала можливою частково завдяки науково-дослідній роботі ХФ-149Ф (№ держреєстрації 0113U003055), що фінансується Міністерством освіти і науки України.

## ЦИТОВАНА ЛІТЕРАТУРА

1. С. В. Волков, Є. П. Ковальчук, В. М. Огенко, О. В. Решетняк. *Нанохімія, наносистеми, наноматеріали* (Київ: Наукова думка: 2008).
2. M. Wakasa, Y. Nakamura, Y. Sakaguchi, and H. Hayashi, *Chem. Phys. Let.*, **215**: 631 (1993).
3. C. Xie, H. Li, S. Li, Ju Wu, and Z. Zhang, *Anal. Chem.*, **8**: 241 (2010).
4. S. Zong, Z. Wang, J. Yang, and Y. Cui, *Anal. Chem.*, **83**: 4178 (2011).
5. L. Cao, P. Diao, L. Tong, T. Zhu, and Z. Liu, *Chem. Phys. Chem.*, **6**: 913 (2005).
6. M. Osawa, N. Matsuda, K. Yoshii, and I. Uchida, *J. Phys. Chem.*, **98**: 12702 (1994).
7. J. Sharma, N. K. Chaki, A.B. Mandale, R. Pasricha, and K. Vijayamohanan, *J. Colloid Interf. Sci.*, **272**: 145 (2004).
8. Y. Ma, K. Jiao, T. Yang, and D. Sun, *Sensor. Actuat. B*, **131**: 565 (2008).
9. A. A. Soliman and G. G. Mohamed, *Thermochim. Acta*, **421**: 151–159 (2004).
10. E. Keinan and D. Eren, *J. Org. Chem.*, **51**: 16 (1986).
11. J. Sharma, S. Mahima, B. A. Kakade, R. Pasricha, A. B. Mandale, and K. Vijayamohanan, *J. Phys. Chem. B*, **108**: 35 (2004).
12. J. Zheng, Y. Zhou, X. Li, Y. Ji, T. Lu, and R. Gu, *Langmuir*, **19**: 3 (2003).
13. J. Lukkari, K. Kleemola, M. Meretoja, T. Ollonqvist, and J. Kankare, *Langmuir*, **14**: 1705 (1988).
14. A. A. Soliman and W. Linert, *Thermochim. Acta*, **338**: 67 (1999).
15. T. Torimoto, T. Sakata, H. Mori, and H. Yoneyama, *J. Phys. Chem.*, **98**: 3036 (1994).
16. Y. Huang, Y. Fang, Z. Yang, and M. Sun, *J. Phys. Chem. C*, **114**: 18263 (2010).

17. S. Liu, X. Zhao, Y. Li, X. Zhao, and M. Chen, *J. Chem. Phys.*, **130**: 234509 (2009).
18. P. T. Binh, *Macromol. Symp.*, **249–259**: 228 (2007).
19. Л. А. Казицына, Н. Б. Куплетская, *Применение УФ-, ИК- и ЯМР-спектроскопии в органической химии* (Москва: Высшая школа: 1971).
20. Г. Н. Дульнев, *Процессы переноса в неоднородных средах* (Ленинград: Энергоатомиздат: 1991).
21. C. Xu, J. Su, X. Xu et al., *J. Am Chem. Soc.*, **129**: 42 (2007).
22. A. Wittstock, J. Biener, and M. Bäumer, *Phys. Chem. Chem. Phys.*, **12**: 12919 (2010).
23. J. Zhang, P. Liu, H. Ma, and Y. Ding, *J. Phys. Chem. C*, **111**: 10382 (2007).

## REFERENCES

1. S. V. Volkov, E. P. Koval'chuk, V. M. Ogenko, and O. V. Reshetnyak. *Nanochemistry, Nanosystems, Nanomaterials* (Kyiv: Naukova Dumka: 2008) (in Ukrainian).
2. M. Wakasa, Y. Nakamura, Y. Sakaguchi, and H. Hayashi, *Chem. Phys. Lett.*, **215**: 631 (1993).
3. C. Xie, H. Li, S. Li, Ju Wu, and Z. Zhang, *Anal. Chem.*, **8**: 241 (2010).
4. S. Zong, Z. Wang, J. Yang, and Y. Cui, *Anal. Chem.*, **83**: 4178 (2011).
5. L. Cao, P. Diao, L. Tong, T. Zhu, and Z. Liu, *Chem. Phys. Chem.*, **6**: 913 (2005).
6. M. Osawa, N. Matsuda, K. Yoshii, and I. Uchida, *J. Phys. Chem.*, **98**: 12702 (1994).
7. J. Sharma, N. K. Chaki, A. B. Mandale, R. Pasricha, and K. Vijayamohanan, *J. Colloid Interf. Sci.*, **272**: 145 (2004).
8. Y. Ma, K. Jiao, T. Yang, and D. Sun, *Sensor. Actuat. B*, **131**: 565 (2008).
9. A. Soliman and G. G. Mohamed, *Thermochim. Acta*, **421**: 151–159 (2004).
10. E. Keinan and D. Eren, *J. Org. Chem.*, **51**: 16 (1986).
11. J. Sharma, S. Mahima, B. A. Kakade, R. Pasricha, A. B. Mandale, and K. Vijayamohanan, *J. Phys. Chem. B*, **108**: 35 (2004).
12. J. Zheng, Y. Zhou, X. Li, Y. Ji, T. Lu, and R. Gu, *Langmuir*, **19**: 3 (2003).
13. J. Lukkari, K. Kleemola, M. Meretoja, T. Ollonqvist, and J. Kankare, *Langmuir*, **14**: 1705 (1988).
14. A. Soliman and W. Linert, *Thermochim. Acta*, **338**: 67 (1999).
15. T. Torimoto, T. Sakata, H. Mori, and H. Yoneyama, *J. Phys. Chem.*, **98**: 3036 (1994).
16. Y. Huang, Y. Fang, Z. Yang, and M. Sun, *J. Phys. Chem. C*, **114**: 18263 (2010).
17. S. Liu, X. Zhao, Y. Li, X. Zhao, and M. Chen, *J. Chem. Phys.*, **130**: 234509 (2009).
18. P. T. Binh, *Macromol. Symp.*, **249–259**: 228 (2007).
19. L. A. Kazitsyna, N. B. Kupletskaya, *Application of UV-, IR- and NMR-Spectroscopy in Organic Chemistry* (Moscow: Vysshaya Shkola: 1971) (in Russian).
20. G. N. Dul'niev, *Transport Processes in Inhomogeneous Media* (Leningrad: Energoatomizdat: 1991) (in Russian).
21. C. Xu, J. Su, X. Xu et al., *J. Am Chem. Soc.*, **129**: 42 (2007).
22. A. Wittstock, J. Biener, and M. Bäumer, *Phys. Chem. Chem. Phys.*, **12**: 12919 (2010).
23. J. Zhang, P. Liu, H. Ma, and Y. Ding, *J. Phys. Chem. C*, **111**: 10382 (2007).